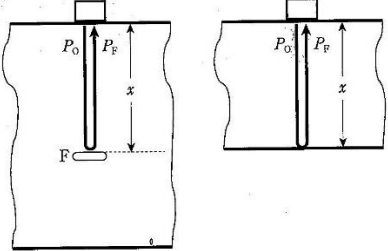
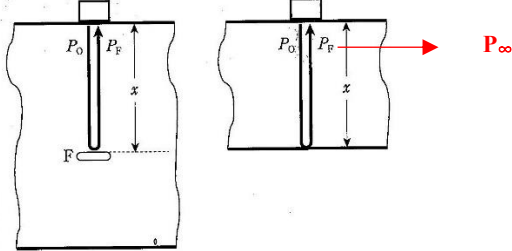


頁	章	行	誤	正
9	2.3.4	左2行目	訓練終了の証明文書	訓練 修 了の証明文書
52	4.1.4	左18行目	sine波よりも バースト波 が用いられることが多い。	sine波よりも スパイクパルス波 が用いられることが多い。
78	5.1	右2行目	波長 A の	波長 λ の
81	5.3.1	図 5.6	 <p>図5.6 きずの反射率の定義</p>	 <p>図5.6 きずの反射率の定義</p>
82	5.3.1	(5.17)式	$K = P_0 \cdot \frac{\pi D^2}{8\lambda x} = P_0 \cdot \frac{A}{2\lambda}$	$K = P_0 \cdot \frac{\pi D^2}{8\lambda} = P_0 \cdot \frac{A}{2\lambda}$
		(5.17)式の下		(5.17)式の下に下記の文、式を挿入する。 ここで、A：振動子の面積 式(5.14)、式(5.15)及び式(5.17)からきずエコーの受信音圧 P_F は次のように表される。 $\frac{P_F}{P_0} = \frac{A\gamma}{2\lambda x} \quad (5.17')$
	5.3.2	右下13行目	図 5.6	図 5.7
		右下8行目	$r/\sqrt{\lambda x} \leq 0.4$	$0.8\sqrt{\lambda x} \geq 2r \geq 0.7\lambda$
		右下3行目	式(5.19)と式(5.20)を組み合わせると、	式(5.19)と式(5.17')を組み合わせると、
83	5.3.2	左1行目	$r/\sqrt{\lambda x} \geq 0.4$	$2r \geq 0.8\sqrt{\lambda x}$
		左22行目	$0.8/\sqrt{\lambda x} \geq 2a \geq 0.7\lambda, 2b \geq 3\sqrt{\lambda x}$	$0.8\sqrt{\lambda x} \geq 2a \geq 0.7\lambda, 2b \geq 3\sqrt{\lambda x}$
		左下10行目	(5.22)を式(5.17)と組み合わせると、	式(5.22)を式(5.17')と組み合わせると、
		左下7行目	$0.8/\sqrt{\lambda x} \geq 2a \geq 0.7\lambda, 0.8/\sqrt{\lambda x} \geq 2b \geq 0.7\lambda$	$0.8\sqrt{\lambda x} \geq 2a \geq 0.7\lambda, 0.8\sqrt{\lambda x} \geq 2b \geq 0.7\lambda$
83	5.3.2	右下7行目	式(5.22)を式(5.20)と組み合わせると、	式(5.22)を式(5.17')と組み合わせると、

84	5.3.2	式(5.28)	$\gamma \cong 66 + \frac{r^3}{\lambda^2 x}$	$\gamma \cong 66 \times \frac{r^3}{\lambda^2 x}$
		図 5.11		
		右上 4~5 行目	式(5.30)を式(5.20)と組み合わせると,	式(5.30)を式(5.17')と組み合わせると,
		式(5.33)	$\gamma = 2 \sqrt{\frac{\rho_1 \rho_2}{(\rho_1 + x)(\rho_2 + x)}} \times \sqrt{ S^2(a') + C^2(a') \times S^2(b') + C^2(b') }$	$\gamma = 2 \sqrt{\frac{\rho_1 \rho_2}{(\rho_1 + x)(\rho_2 + x)}} \times \sqrt{\{S^2(a') + C^2(a')\} \times \{S^2(b') + C^2(b')\}}$
		式(5.34)	$a' = 2 \sqrt{\frac{\rho_1 + x}{\lambda \rho_1 x}}, \quad b' = 2 \sqrt{\frac{\rho_2 + x}{\lambda \rho_2 x}}$	$a' = 2a \sqrt{\frac{\rho_1 + x}{\lambda \rho_1 x}}, \quad b' = 2b \sqrt{\frac{\rho_2 + x}{\lambda \rho_2 x}}$
85	5.3.2	表 5.1	表内の適用条件	添付別紙のとおり。(P4)
		式(5.35)	$\gamma = 2 \sqrt{\frac{\rho_1 \rho_2}{(\rho_1 + x)(\rho_2 + x)}}$	$\gamma = \sqrt{\frac{\rho_1 \rho_2}{(\rho_1 + x)(\rho_2 + x)}}$
	5.3.3	式(5.39)	$K = P_0 \times \frac{\pi D^2}{8\lambda x} = P_0 \times \frac{A}{2\lambda}$	$K = P_0 \times \frac{\pi D^2}{8\lambda} = P_0 \times \frac{A}{2\lambda}$
86	5.3.3	左上 5 行目	式(5.40)を式(5.27)に代入して,	式(5.14), 式(5.37)及び式(5.39)から,
93	5.8.4	式(5.60)	T_F : きずエコーのビーム路程	x_F : きずエコーのビーム路程
105	6.3.1	式(6.3)	$\frac{B_F}{B_G} = 1 - \frac{\pi d^2 t}{2x\lambda} \left\{ \frac{2}{2t-x} - \frac{\pi d^2}{8\lambda(t-x)} \right\}$	$\frac{B_F}{B_G} = 1 - \frac{\pi d^2 t}{2x^2\lambda} \left\{ \frac{2}{2t-x} - \frac{\pi d^2}{8\lambda(t-x)} \right\}$

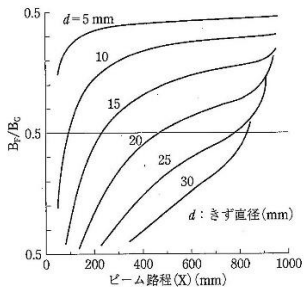
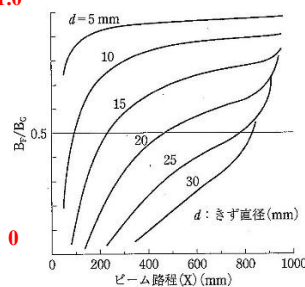
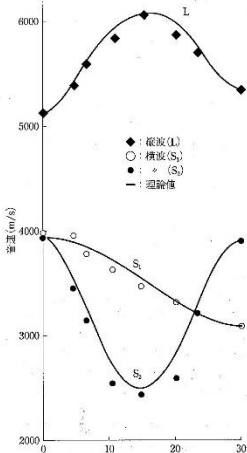
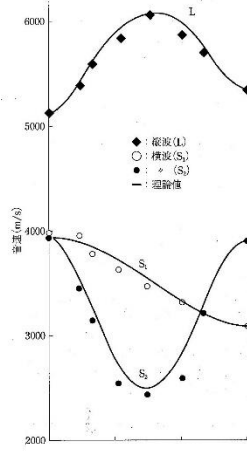
105	6.3.1	図 6.17	 <p>図6.17 試験体の厚さ1000 mm, 周波数 2 MHz のときの B_r/B_0 の計算例</p>	 <p>図6.17 試験体の厚さ1000 mm, 周波数 2 MHz のときの B_r/B_0 の計算例</p>
177	9.2.3	左 1 行目	圧延方向に進行する場合は X 走査 , 圧延方向に直角に進行する場合は Y 走査 となる	圧延方向に進行する場合は Y 走査 , 圧延方向に直角に進行する場合は X 走査 となる
177	9.2.3	左 4 行目	同じ探傷感度であれば, Y 走査 の方がエコー高さは高くなる	同じ探傷感度であれば, X 走査 の方がエコー高さは高くなる
202	10.5	右 7 行目	・・・, また, 使用する探触子の振動子大きさなどの よって・・・	・・・, また, 使用する探触子の振動子の大きさなどに よって・・・
342	G.6.1	図 G.24	 <p>柱状晶成長方向に対する角度 (度)</p> <p>図 G.24 柱状晶方位による超音波の音速異方性</p>	 <p>柱状晶成長方向に対する角度 (度)</p> <p>図 G.24 柱状晶方位による超音波の音速異方性</p>

表5.1 各種形状のきずの反射率

きずの形状	適用条件	きずの反射率
円形平面	$2r \geq 0.7\lambda$	$2 \sin\left(\frac{\pi r^2}{\lambda x}\right)$ (rad)
	$0.8/\sqrt{\lambda x} \geq 2r$	$2\pi r^2/\lambda x$
	$2r \geq 0.8/\sqrt{\lambda x}$	1
方形平面	$0.8/\sqrt{\lambda x} \geq 2a \geq 0.7\lambda, 2b \geq 3\sqrt{\lambda x}$	$2a\sqrt{2/(\lambda x)}$
	$8/\sqrt{\lambda x} \geq 2a \geq 0.7\lambda, 0.8/\sqrt{\lambda x} \geq 2b \geq 0.7\lambda$	$8ab/(\lambda x)$
	$2a \geq 3\sqrt{\lambda x}, 2b \geq 3\sqrt{\lambda x}$	1
球	$r \geq 0.1\lambda$	r/x
	$r \leq 0.1\lambda$	$66r^3/(\lambda^2 x)$
円柱	$2r \geq 0.2\lambda$ $2b \geq 3\sqrt{\lambda x}$ (長い円柱)	$\sqrt{\frac{r}{r+x}}$
	$2r \geq 0.2\lambda$ $0.7\lambda \leq 2b \leq 0.8\sqrt{\lambda x}$ (短い円柱)	$2\sqrt{2} \frac{b\sqrt{r}}{\sqrt{(r+x)\lambda x}}$
曲面	$a' = 2\sqrt{\frac{\rho_1 + x}{\lambda \rho_1 x}}, b' = 2\sqrt{\frac{\rho_2 + x}{\lambda \rho_2 x}}$ $a' \cong 3, b' \cong 3$	$\sqrt{\frac{\rho_1 \rho_2}{(\rho_1 + x)(\rho_2 + x)}}$

表 5.1 各種形状のきずの反射率 (朱記部修正)

きずの形状	適用条件	きずの反射率
円形平面	$2r \geq 0.7\lambda$	$2 \sin\left(\frac{\pi r^2}{\lambda x}\right)$ (rad)
	$0.8\sqrt{\lambda x} \geq 2r \geq 0.7\lambda$	$2\pi r^2/(\lambda x)$
	$2r \geq 0.8\sqrt{\lambda x}$	1
方形平面	$0.8\sqrt{\lambda x} \geq 2a \geq 0.7\lambda, 2b \geq 3\sqrt{\lambda x}$	$2a\sqrt{2/(\lambda x)}$
	$0.8\sqrt{\lambda x} \geq 2a \geq 0.7\lambda, 0.8\sqrt{\lambda x} \geq 2b \geq 0.7\lambda$	$8ab/(\lambda x)$
	$2a \geq 3\sqrt{\lambda x}, 2b \geq 3\sqrt{\lambda x}$	1
球	$r \geq 0.1\lambda$	r/x
	$0.1\lambda > r$	$66r^3/(\lambda^2 x)$
円柱	長い円柱 $2r \geq 0.2\lambda, 2b \geq 3\sqrt{\lambda x}$	$\sqrt{r/(r+x)}$
	短い円柱 $2r \geq 0.2\lambda, 0.8\sqrt{\lambda x} \geq 2b \geq 0.7\lambda$	$2b\sqrt{2r/((r+x)\lambda x)}$
曲面	$2a \geq 3\sqrt{\frac{\lambda \rho_1 x}{\rho_1 + x}}, 2b \geq 3\sqrt{\frac{\lambda \rho_2 x}{\rho_2 + x}}$	$\sqrt{\frac{\rho_1 \rho_2}{(\rho_1 + x)(\rho_2 + x)}}$